

Ph.D. ANNA VALERIA GUGLIELMI
Supervisor Ph.D. GIULIA CISOTTO
DEI-Unipd

Consortium
GARR
THE ITALIAN
EDUCATION
& RESEARCH
NETWORK



Protocollo di secret key agreement basato su biometria per Wireless Body Area Networks

GIORNATA DI INCONTRO
BORSE DI STUDIO GARR
"ORIO CARLINI"
ROMA

Padova, 25 Novembre 2020

Borsisti Day 2020



Contenuti della presentazione

- Definizione del problema
- Introduzione agli obiettivi e ai metodi
- Risultati raggiunti
 - *Caratterizzazione statistica dei segnali reali*
 - *Stima mutual information rate (MIR)*
 - *Valutazione MIR segnali reali*
 - *Implementazione information reconciliation*
- Prospettive future e conclusioni



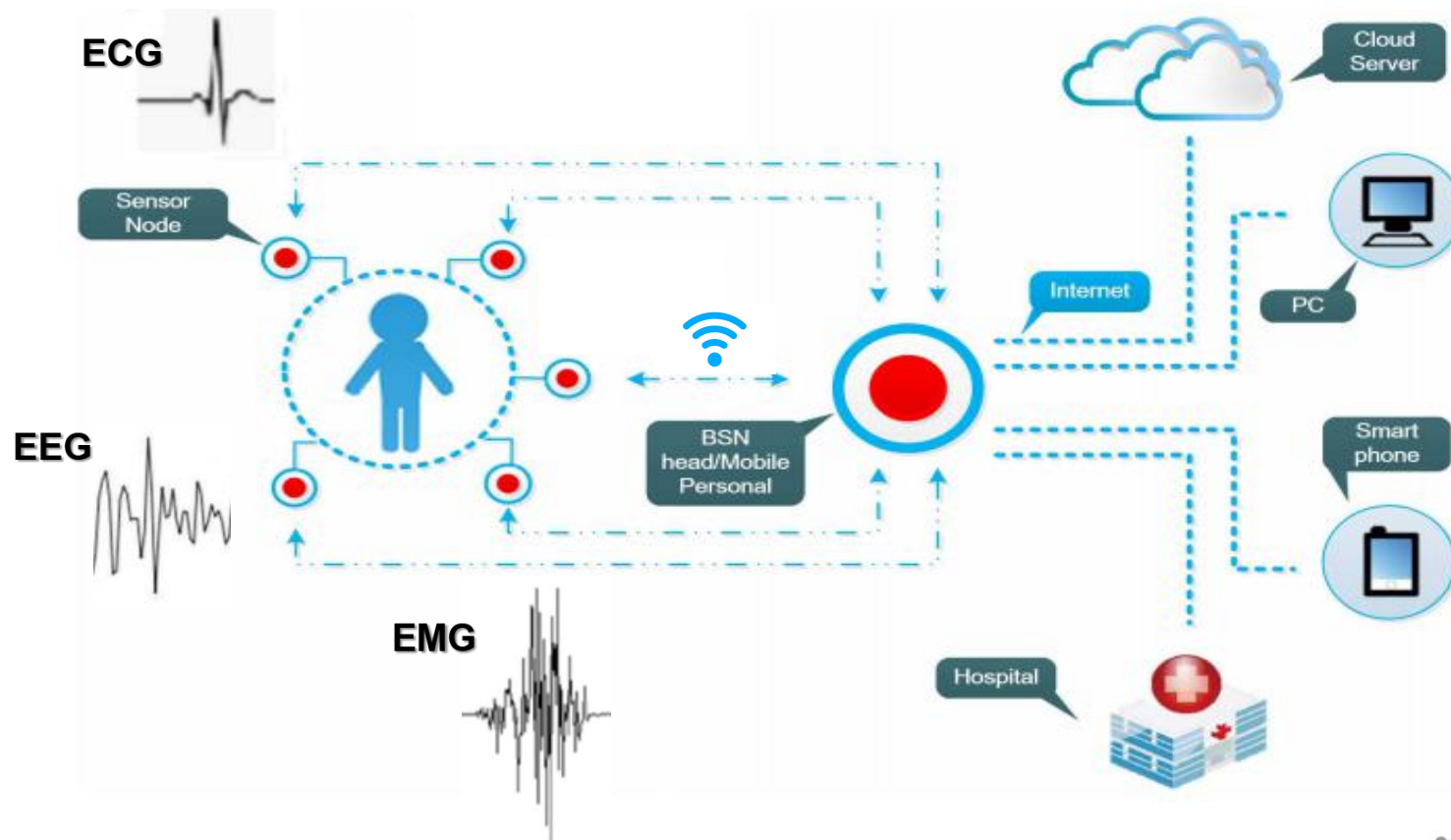
Contenuti della presentazione

- **Definizione del problema**
- Introduzione agli obiettivi e ai metodi
- Risultati raggiunti
 - *Caratterizzazione statistica dei segnali reali*
 - *Stima mutual information rate (MIR)*
 - *Valutazione MIR segnali reali*
 - *Implementazione information reconciliation*
- Prospettive future e conclusioni





Modello per wireless BAN



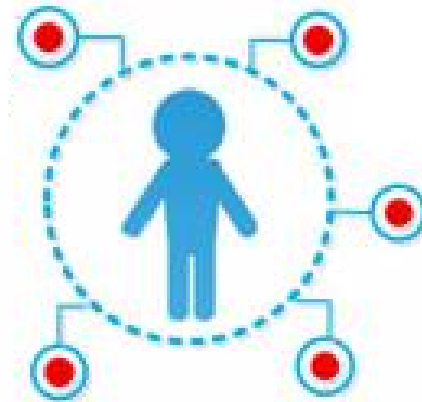


Definizione del problema

Scambio sicuro delle informazioni fisiologiche

- privacy dei dati
- autenticazione per accesso ai dati
- integrità dei dati

Eavesdropper





Contenuti della presentazione

- Definizione del problema
- **Introduzione agli obiettivi e ai metodi**
- Risultati raggiunti
 - *Caratterizzazione statistica dei segnali reali*
 - *Stima mutual information rate (MIR)*
 - *Valutazione MIR segnali reali*
 - *Implementazione information reconciliation*
- Prospettive future e conclusioni





Metodi

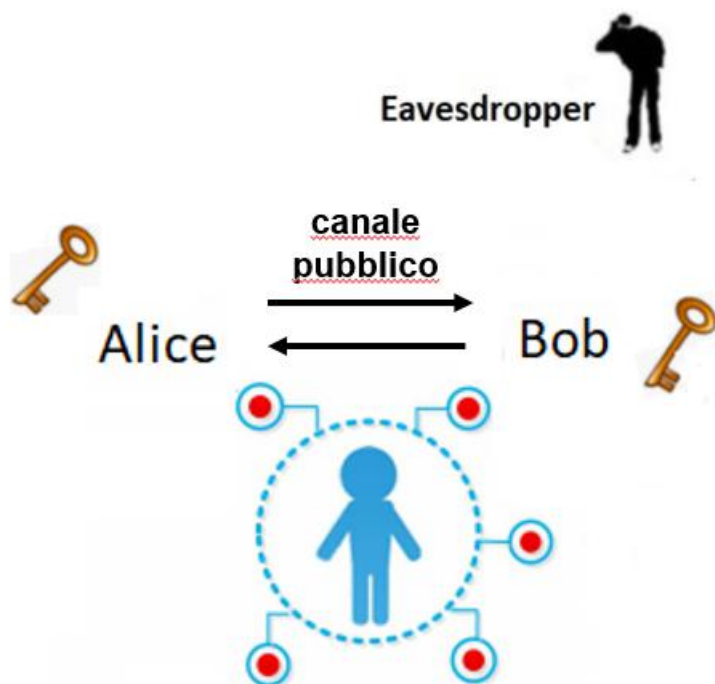
Schemi di Information-theoretic security

- sistemi basati su third-party key management (letteratura corrente)
- *unconditionally secure* (Novità!)





Metodi



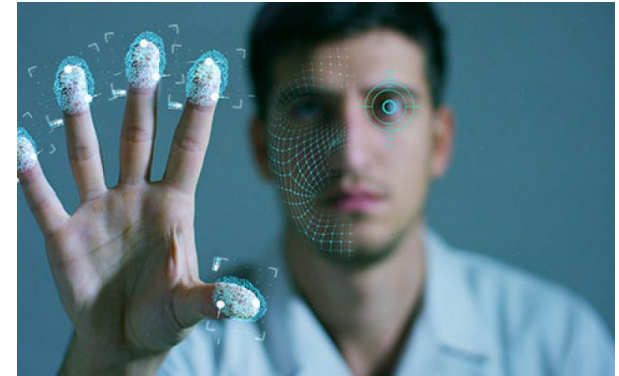
- Valutare il **secret-key rate**
→ massimo rate con cui si può generare una chiave segreta
- Fare **information reconciliation**
→ correzione delle discrepanze tra le misurazioni usate
- Fare **privacy amplification**
→ generazione vera e propria della chiave segreta



Metodi

Schemi basati su biometria per la sicurezza

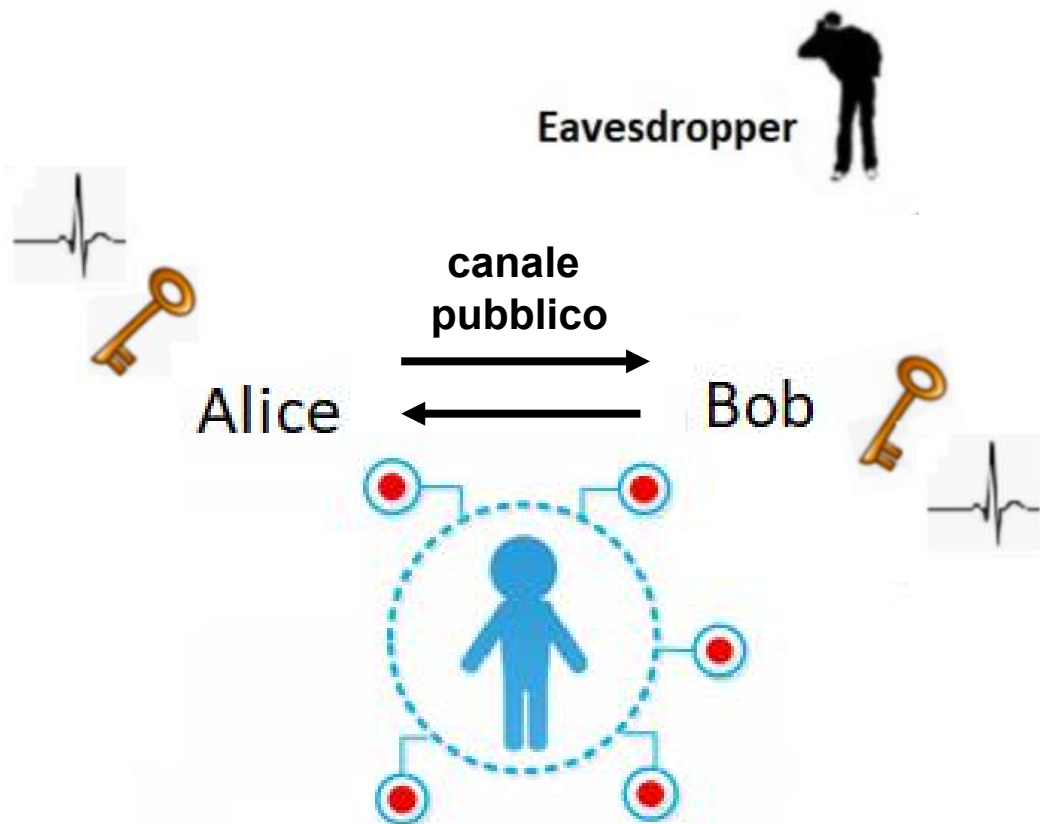
- biometria unimodale statica e multimodale mista



- biometria multimodale dinamica (**Novità!**)



Scenario per il key-agreement proposto



Scopo:

sfruttare variabilità e correlazione dei biosegnali per generare una chiave segreta ignota ad un potenziale attaccante



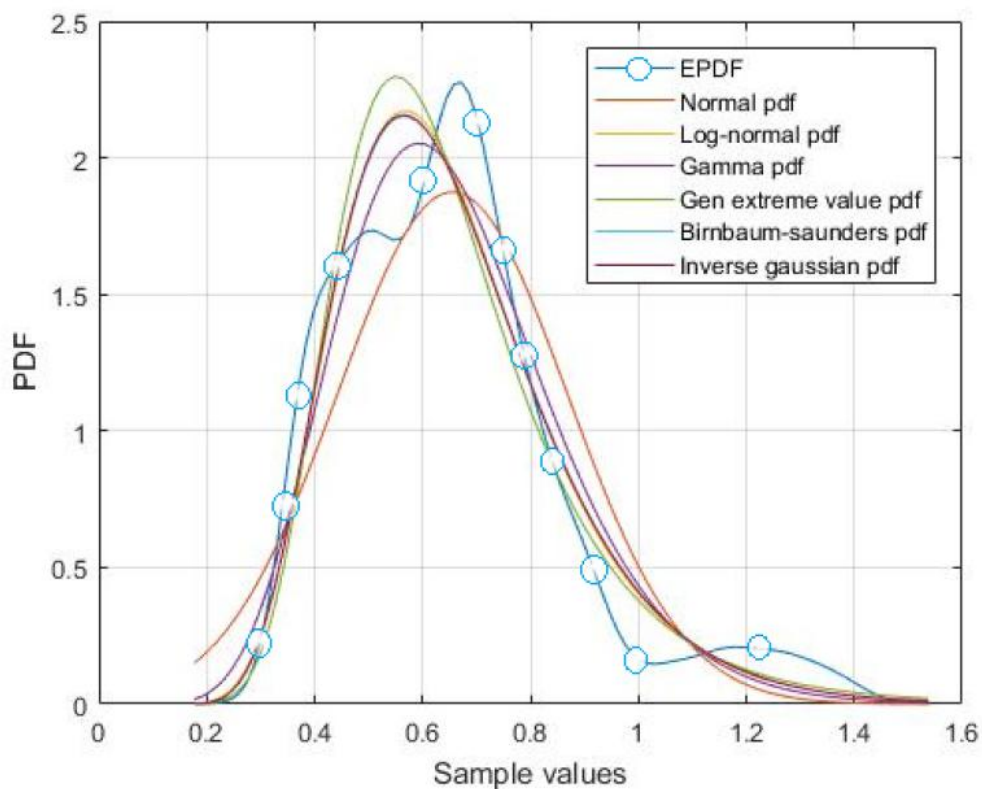
Contenuti della presentazione

- Definizione del problema
- Introduzione agli obiettivi e ai metodi
- **Risultati raggiunti**
 - *Caratterizzazione statistica dei segnali reali*
 - *Stima mutual information rate (MIR)*
 - *Valutazione MIR segnali reali*
 - *Implementazione information reconciliation*
- Prospettive future e conclusioni





Caratterizzazione statistica dei segnali

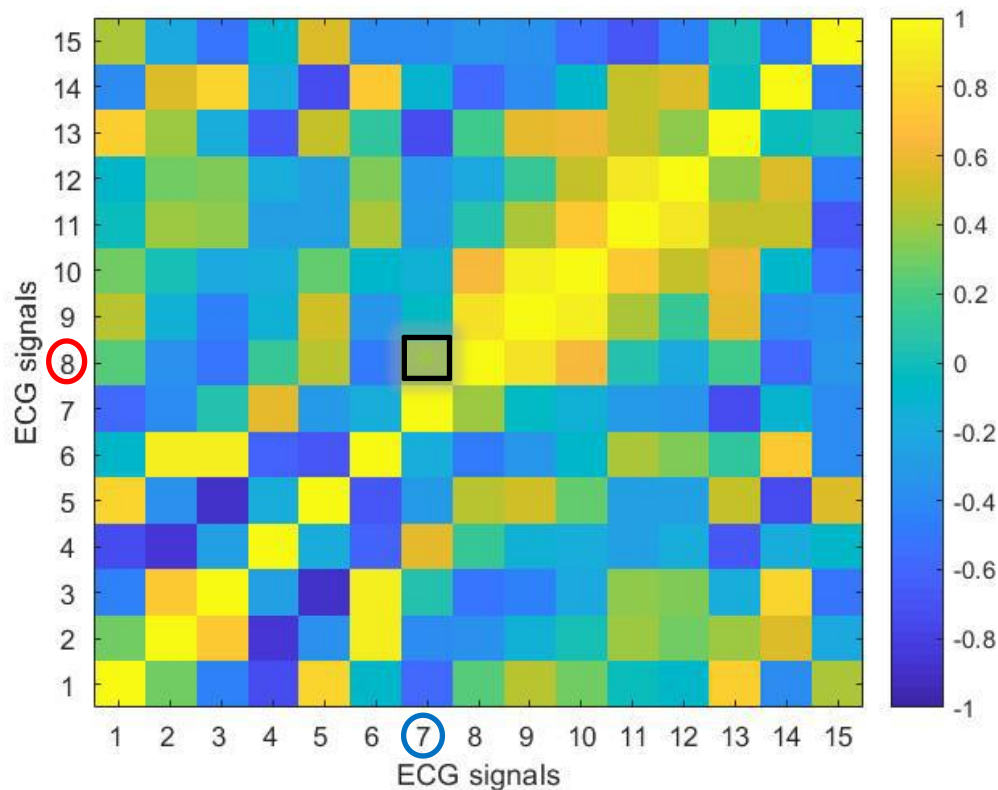
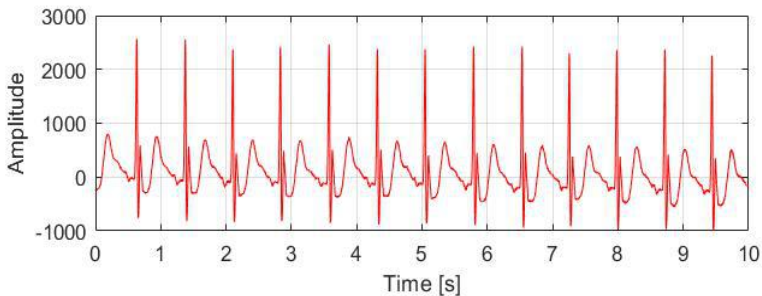
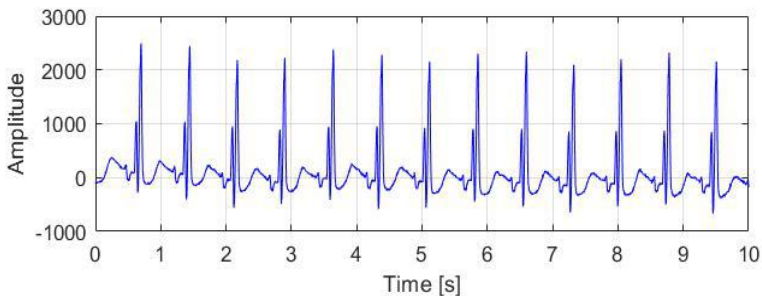


- Non esiste un modello di distribuzione univoco
- Modelli generativi già esistenti per la conoscenza dell'attaccante



Caratterizzazione statistica dei segnali

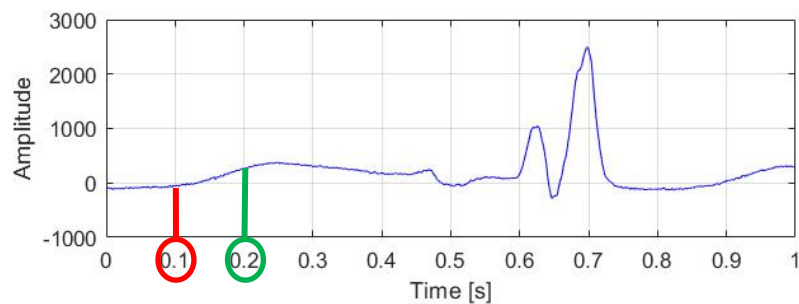
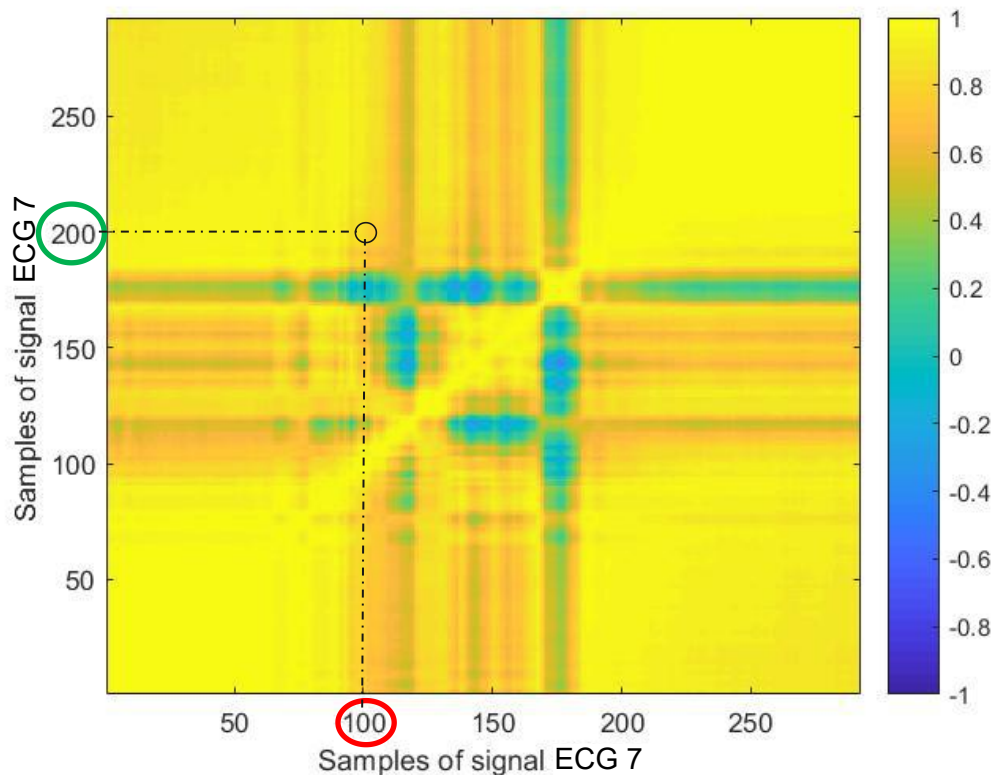
Correlazione spaziale (r)





Caratterizzazione statistica dei segnali

Correlazione temporale (a)





Caratterizzazione statistica dei segnali

Per segnali ECG

- alto valore di r e di a

Analogamente

- per segnali EEG alto valore di r e di a
- per segnali EMG basso valore di r ed alto valore di a



Contenuti della presentazione

- Definizione del problema
- Introduzione agli obiettivi e ai metodi
- **Risultati raggiunti**
 - *Caratterizzazione statistica dei segnali reali*
 - ***Stima mutual information rate (MIR)***
 - *Valutazione MIR segnali reali*
 - *Implementazione information reconciliation*
- Prospettive future e conclusioni





Implicazioni caratterizzazione statistica dei segnali

- Alta correlazione spaziale e bassa correlazione temporale → chiavi segrete "lunghe"
- ECG ed EEG più adatti rispetto ad EMG per la generazione di chiavi segrete
- Entropia significativa e mutua informazione che dipende dallo scenario



Stima mutual information rate

X ed Y segnali biometrici, MIR:

$$I_s(X, Y) = \lim_{K \rightarrow \infty} \frac{1}{K} I(x_n, \dots, x_{n+K-1}; y_n, \dots, y_{n+K-1}) \leq I(X, Y)$$

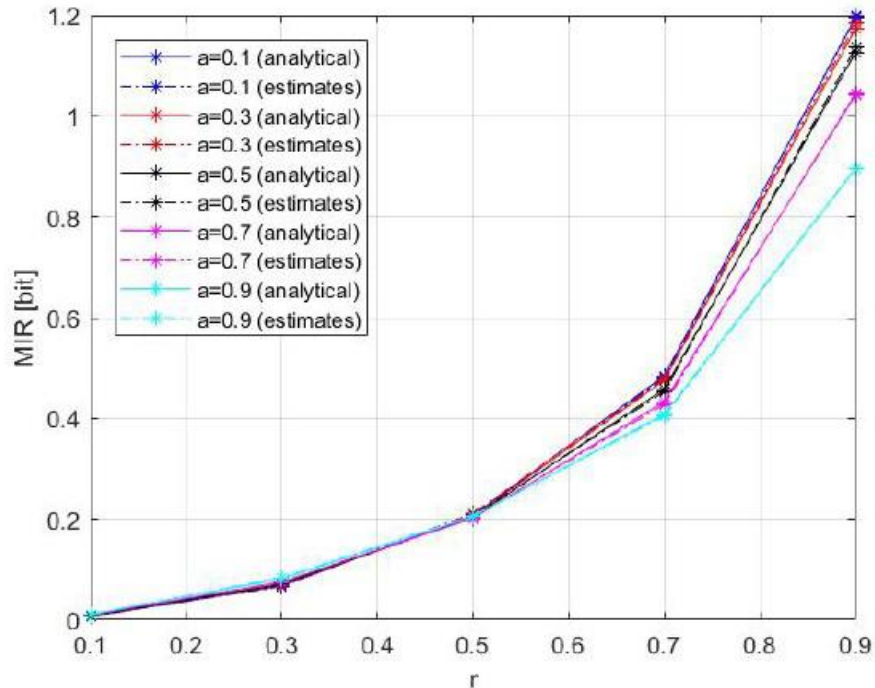
Stima del mutual information rate (MIR):

- usando la definizione di entropia differenziale di Shannon
- tramite una valutazione non parametrica basata sui campioni osservati

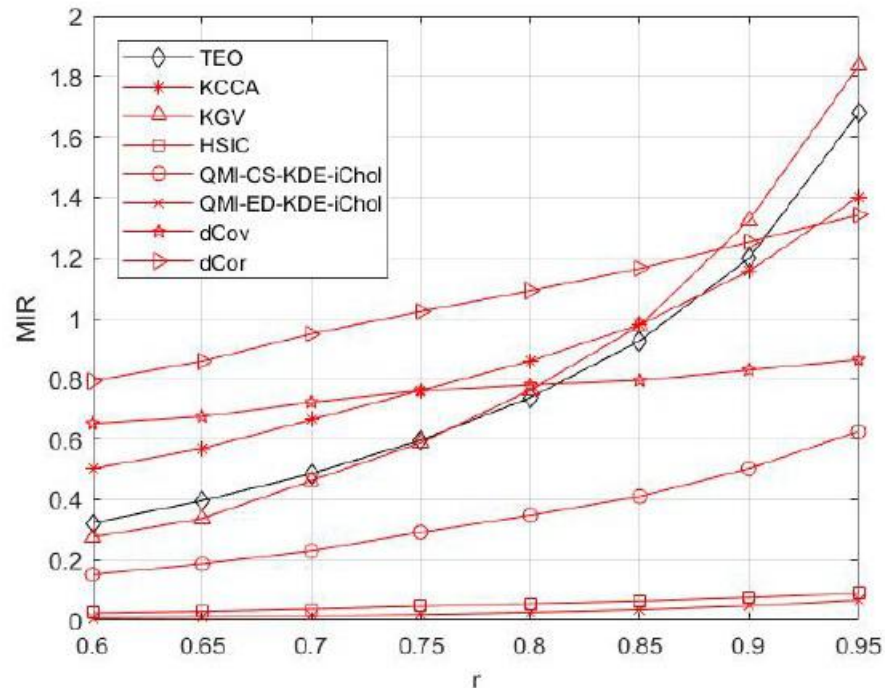


Stima mutual information rate

Stima tramite entropia differenziale su segnali Gaussiani ($K=2$)



Stima non-parametrica date le osservazioni su segnali Gaussiani ($a=0.6$ $K=2$)





Contenuti della presentazione

- Definizione del problema
- Introduzione agli obiettivi e ai metodi
- **Risultati raggiunti**
 - *Caratterizzazione statistica dei segnali reali*
 - *Stima mutual information rate (MIR)*
 - ***Valutazione MIR segnali reali***
 - *Implementazione information reconciliation*
- Prospettive future e conclusioni





Valutazione MIR dati reali

	ch.1-ch.2 KCCA	ch.1-ch.2 KGV	ch.1-ch.2 SvME
K=1	0.0158	0.0098	2.3708
K=2	0.00002	0.00002	5.22
K=3	0.00003	0	3.84
K=4	0	0	2.88
K=5	0	0	2.3
K=6	0	0	1.92

← segnali ECG

→ segnali EEG

	ch.28-ch.31 KCCA	ch.28-ch.31 KGV	ch.28-ch.31 SvME
K=1	0.026	0.0264	2.8123
K=2	0.0004	0.00001	7.96
K=3	0.0001	0.00006	5.54
K=4	0.00005	0.00005	4.15
K=5	0.00004	0.00004	3.32
K=6	0.00003	0.00003	2.77



Valutazione MIR segnali reali

Affidabilità della stima del MIR segnali reali?

Bounds:

$$\frac{1}{2} \log(|\Sigma|) + \frac{1}{2} (\log(\pi) + 1) \leq I_S(X, Y) \leq I(X, Y)$$

con Σ matrice di covarianza tra X ed Y e $\pi=3.14$



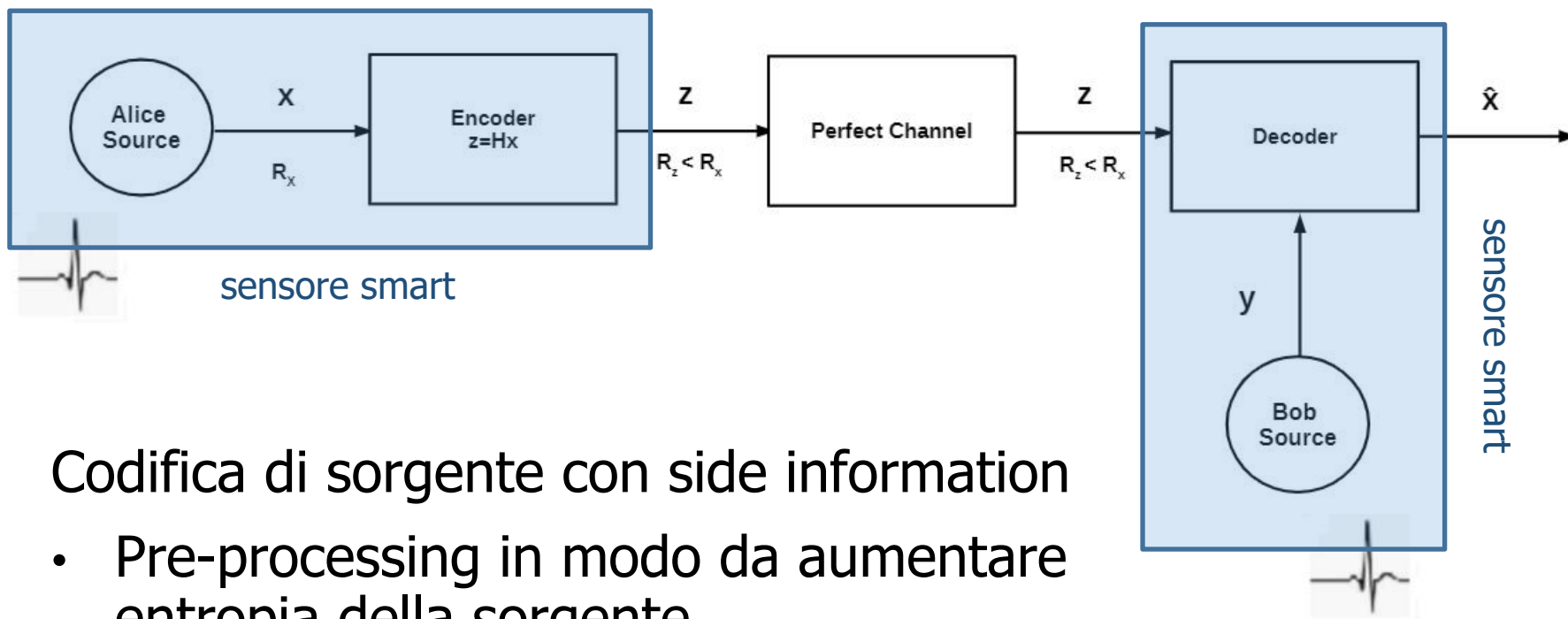
Contenuti della presentazione

- Definizione del problema
- Introduzione agli obiettivi e ai metodi
- **Risultati raggiunti**
 - *Caratterizzazione statistica dei segnali reali*
 - *Stima mutual information rate (MIR)*
 - *Valutazione MIR segnali reali*
 - ***Implementazione information reconciliation***
- Prospettive future e conclusioni





Implementazione information reconciliation



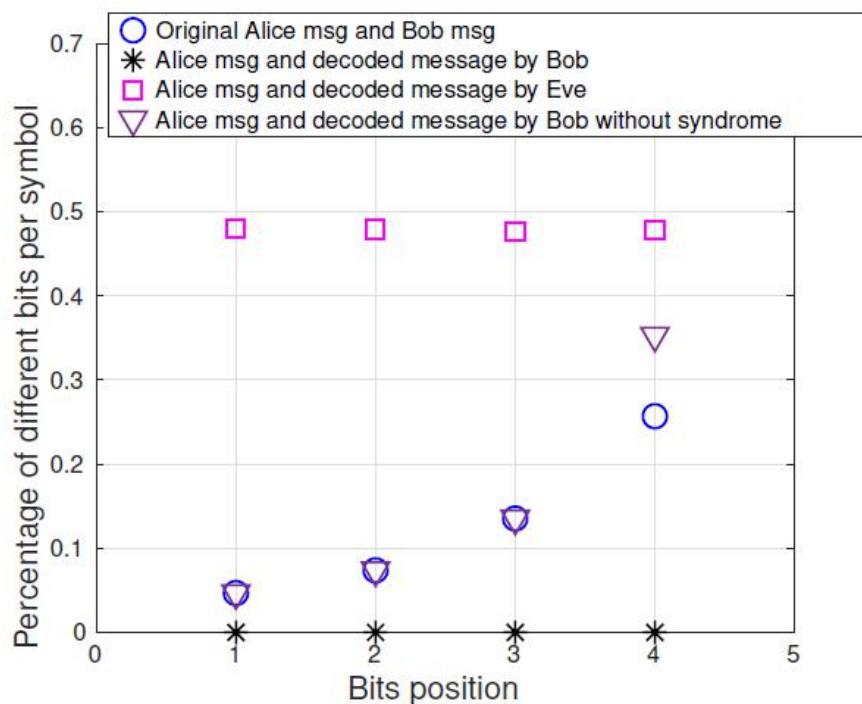
Codifica di sorgente con side information

- Pre-processing in modo da aumentare entropia della sorgente
- Codici LDPC con syndrome decoding

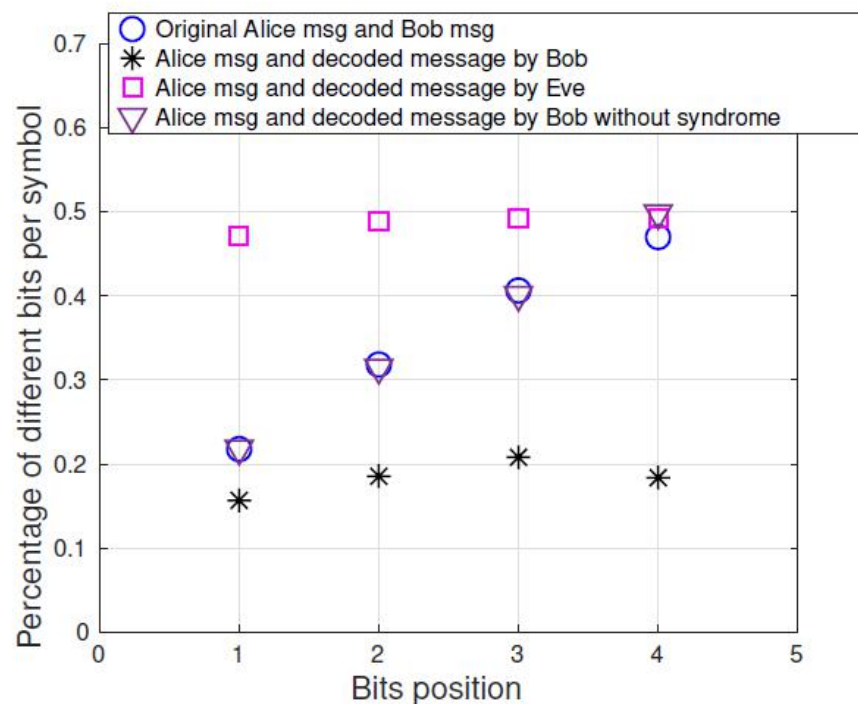


Implementazione information reconciliation

Segnali sintetici altamente correlati



Segnali ECG reali





Contenuti della presentazione

- Definizione del problema
- Introduzione agli obiettivi e ai metodi
- Risultati raggiunti
 - *Caratterizzazione statistica dei segnali reali*
 - *Stima mutual information rate (MIR)*
 - *Valutazione MIR segnali reali*
 - *Implementazione information reconciliation*
- **Prospettive future e conclusioni**





Prospettive future

- **Migliorare information reconciliation** (e.g. LDPC rate e numero di bit in input all'encoder, codici polari)
- **Implementare** uno schema di **privacy amplification**
- Applicazione a **scenario reale** con **smart sensors** commerciali (simulazione e acquisizione di dati fisiologici con sensori off-the-shelf)
- **Confrontare performance** sistema simulato e reale in modo da definire dei **tradeoff** (QoS vs sicurezza)



Conclusioni

- Protocollo **secret-key agreement** in WBAN basato su **segnali biometrici dinamici**
- **Sicurezza by-design** per un sistema **unconditionally secure**
- **Key agreement** sia tra due soli sensori che tra un **gruppo di sensori** della rete
- Estensione ad altri use-case (es., monitoraggio attenzione alla guida, monitoraggio attenzione operai in fabbrica che usano robot/strumentazione rischiosa, etc.)

*Grazie per la
vostra attenzione!*

Contatti:

guglielm@dei.unipd.it

giulia.cisotto@dei.unipd.it